

# LANCÉ

Servicio Clima Espacial

# Reporte Semanal

<http://www.sciesmex.unam.mx>



**AEM**  
AGENCIA ESPACIAL MEXICANA



**CENAPRED**  
CENTRO NACIONAL DE  
PREVENCIÓN DE DESASTRES

# Reporte semanal: 11 al 17 de septiembre de 2020

**LANCÉ**

Servicio Clima Espacial

## CONDICIONES DEL SOL

Regiones activas: 0

Hoyos coronales: 3, al menos (dispersos, uno en el ecuador)

Eyecciones de masa coronal: 2 lentas (colimadas no dirigidas a la Tierra)

El Sol muestra actividad baja.

## CONDICIONES DEL MEDIO INTERPLANETARIO

Se registró una región de compresión que no produjo perturbaciones significativas.

## CONDICIONES DE MAGNETÓSFERA

Índice K local: Semana quieta en términos generales.

Índice Dst: Semana quieta en términos generales.

## CONDICIONES DE LA IONOSFERA

Se registraron bajos valores de TEC.

# Reporte semanal: 11 al 17 de septiembre de 2020

**LANCÉ**

Servicio Clima Espacial

## PRONÓSTICOS

### Viento solar:

- Se pronostica la posible llegada de una corriente de viento solar rápido.

### Fulguraciones solares:

- Es poco probable que se presenten fulguraciones clase C o mayores para los siguientes días.

### Tormentas ionosféricas:

- Podrían presentarse afectaciones ionosféricas en los próximos días.

### Tormentas geomagnéticas:

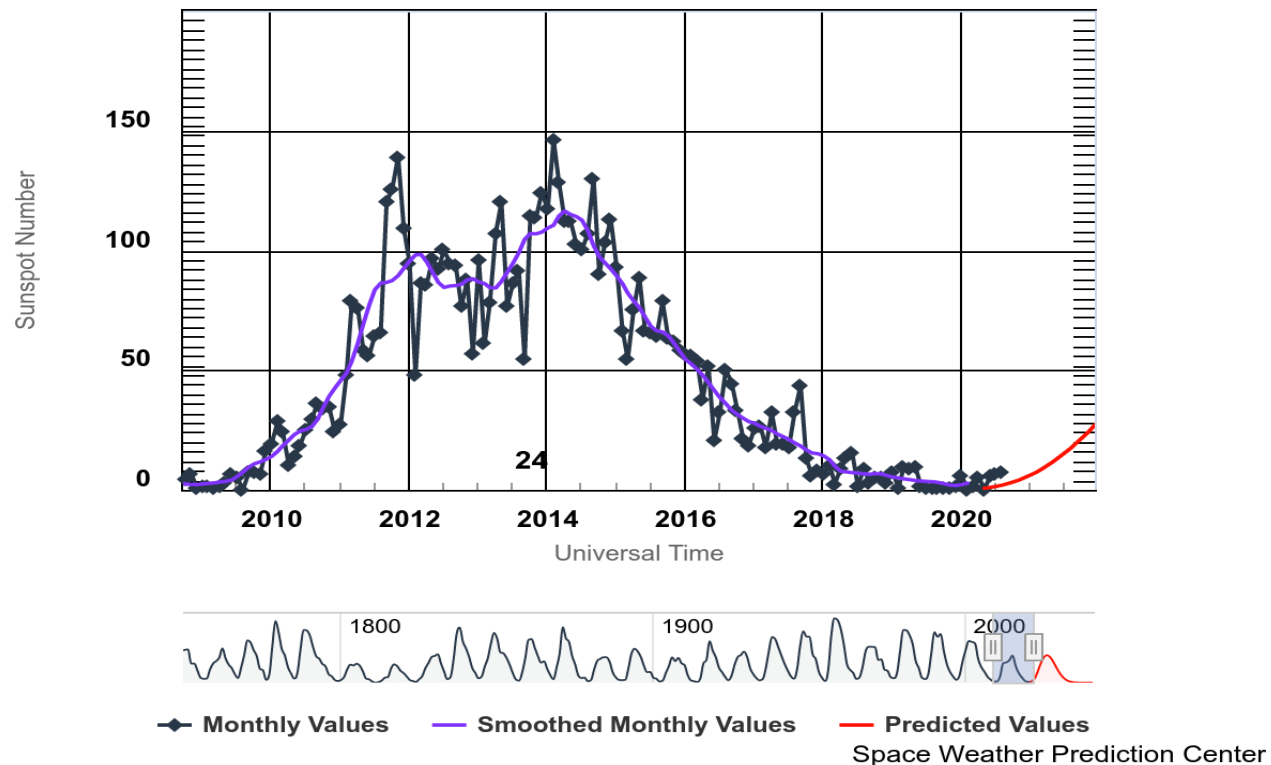
- Podrían registrarse tormentas menores en los próximos días.

### Tormentas de radiación solar:

- Debido a la poca actividad, no se esperan tormentas en la próxima semana.

# Ciclo de manchas solares y la actividad solar

ISES Solar Cycle Sunspot Number Progression



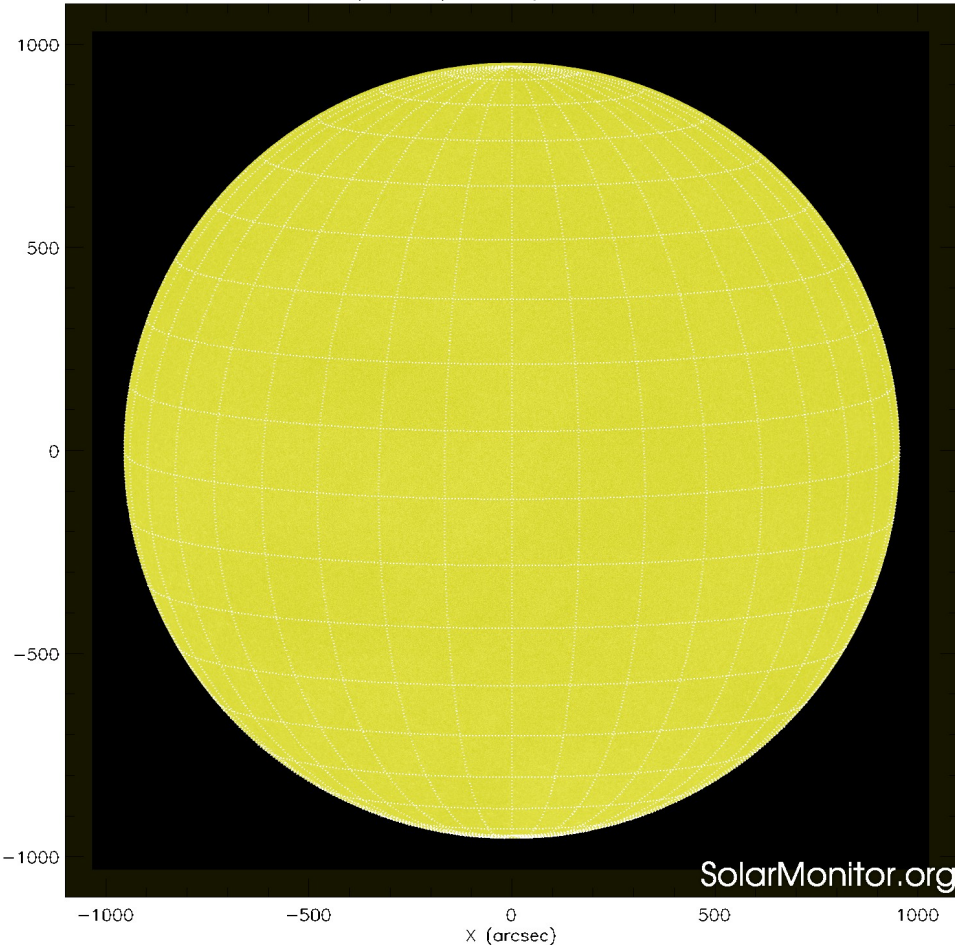
La figura muestra el conteo del número de manchas solares desde enero del 2008.

Entre más manchas solares presente el Sol, es mayor la posibilidad de que ocurra una tormenta solar.

El ciclo solar 24 ha terminado y estamos en la fase ascendente del ciclo de manchas solares número 25.

<http://www.swpc.noaa.gov/products/solar-cycle-progression>

SDO HMI (6173 Å) 18-Sep-2020 10:10:40.400

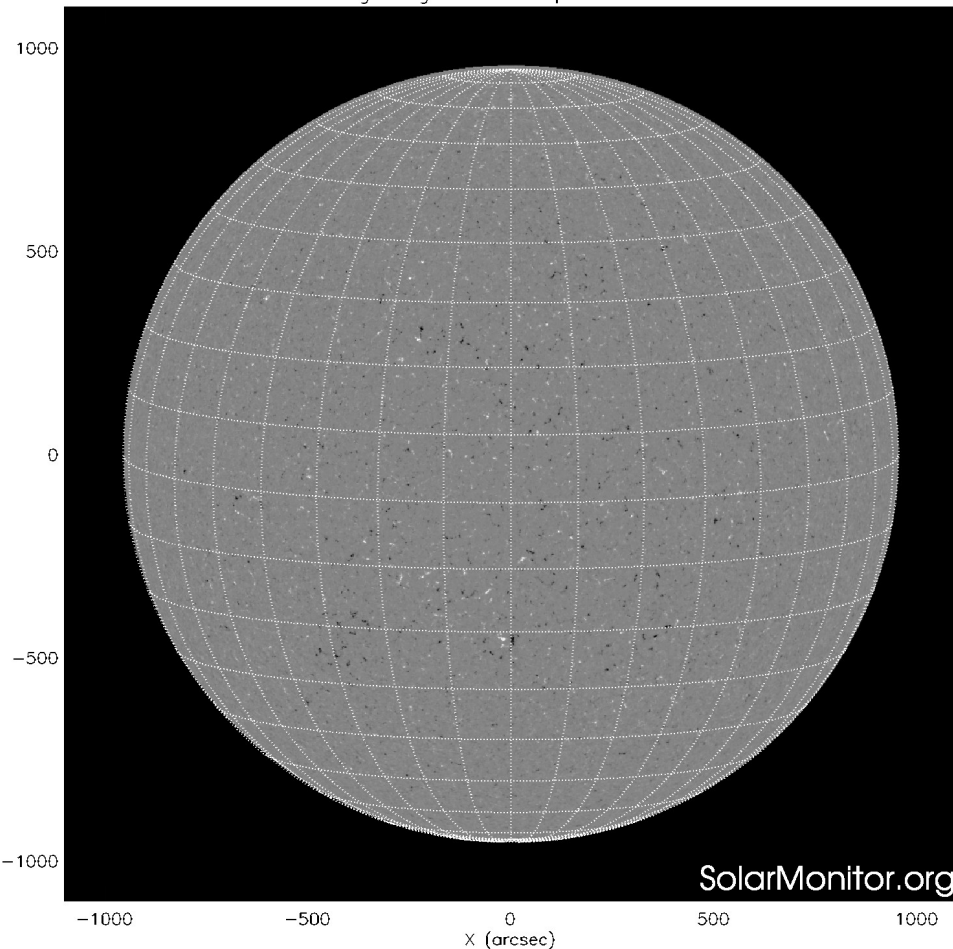


La fotosfera es la zona “superficial” del Sol, donde aparecen las manchas solares. Regiones oscuras formadas por material más frío que sus alrededores y que contienen intensos campos magnéticos. Las manchas solares están relacionadas con la actividad solar.

La imagen reciente de la fotosfera se observa sin manchas solares visibles.

<http://solarmonitor.org>

SDO HMI Magnetogram 18-Sep-2020 09:58:40.500



Un magnetograma solar permite identificar las regiones de intensos campos magnéticos solares. En general, estos campos magnéticos están asociados a manchas solares.

Las regiones de color blanco (negro) son zonas por donde salen (entran) líneas de campo magnético, correspondientes a polaridad positiva (negativa).

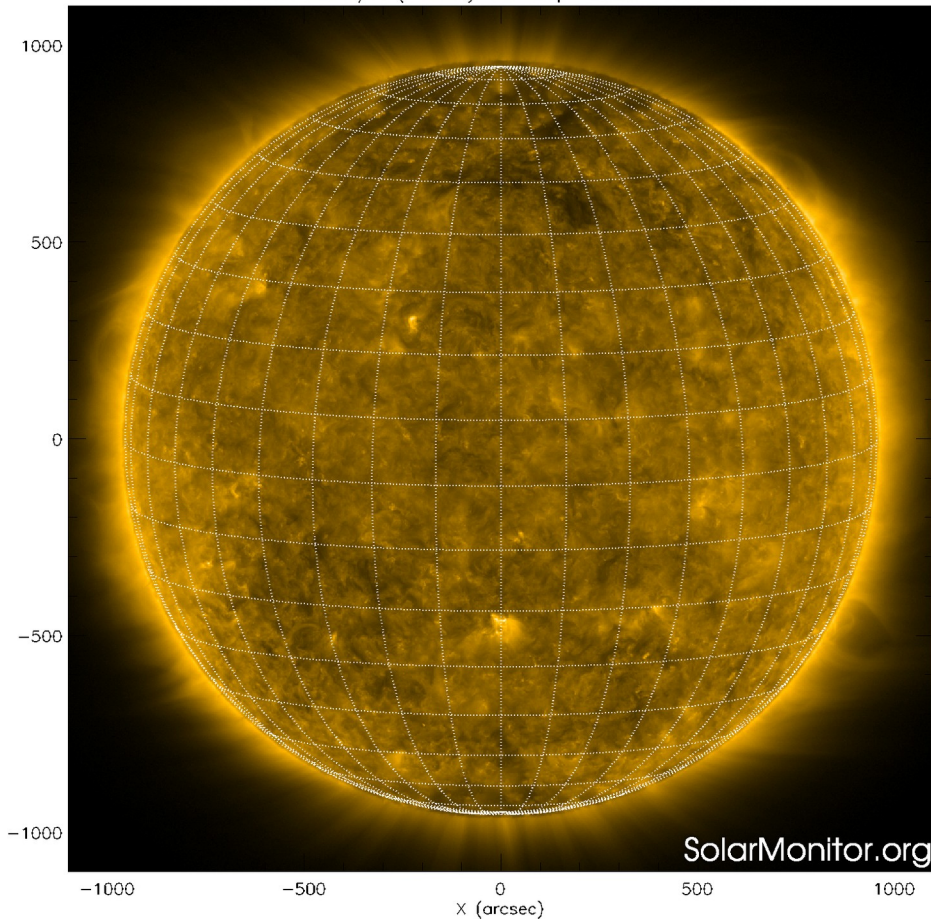
El Sol hoy:

El magnetograma muestra una región reducida con campo magnético en la región oriental del hemisferio sur.

<http://solarmonitor.org>

# Atmósfera solar y regiones activas

SDO AIA Fe IX/X (171 Å) 18-Sep-2020 10:55:09.350



El Sol en rayos X suaves (171 Å). La emisión de Fe IX y X revela la estructura magnética en la región de la atmósfera solar llamada corona solar que se encuentra a 630,000 K.

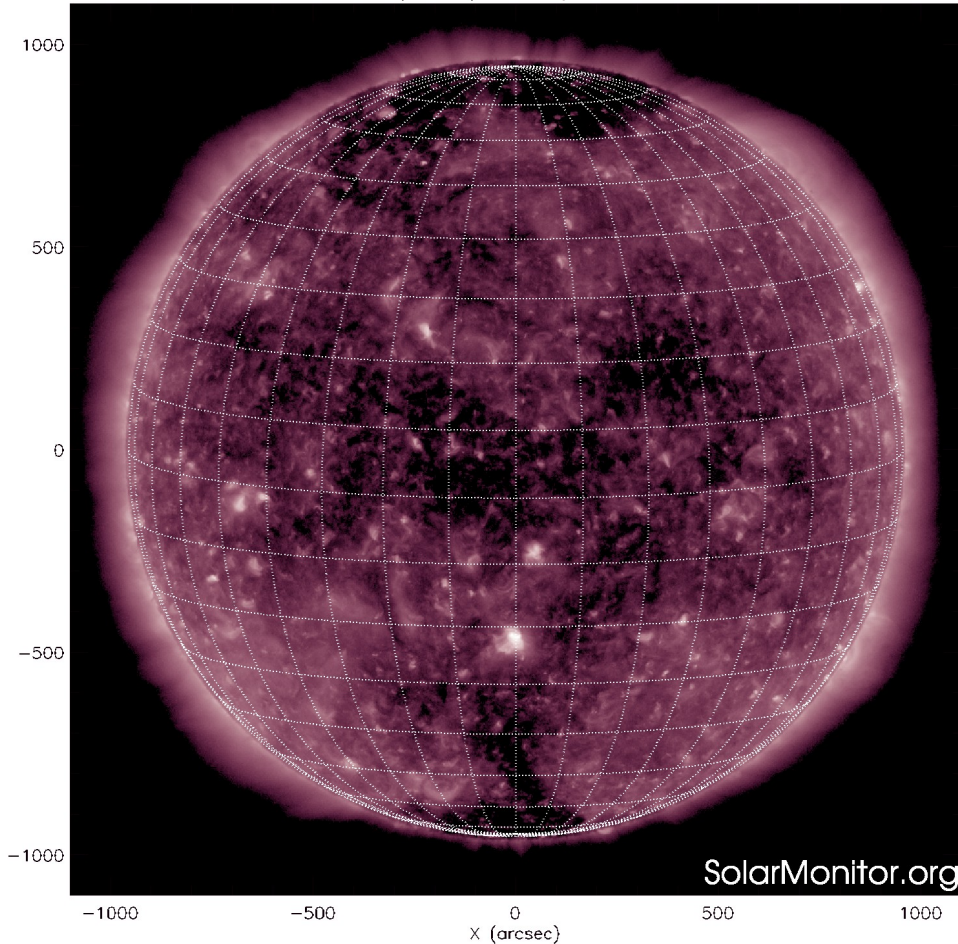
Las regiones activas (zonas claras) son los lugares donde se presentan los fenómenos de actividad solar más importantes. Las regiones activas están regularmente asociadas a las manchas solares.

El Sol hoy:

No se observan regiones activas en el disco solar.

<http://solarmonitor.org>

SDO AIA Fe XII (211 Å) 18-Sep-2020 10:58:21.630



El Sol en rayos X suaves (211 Å). La emisión de Fe XIV revela la estructura magnética en la alta corona que se encuentra a 2,000,000 K.

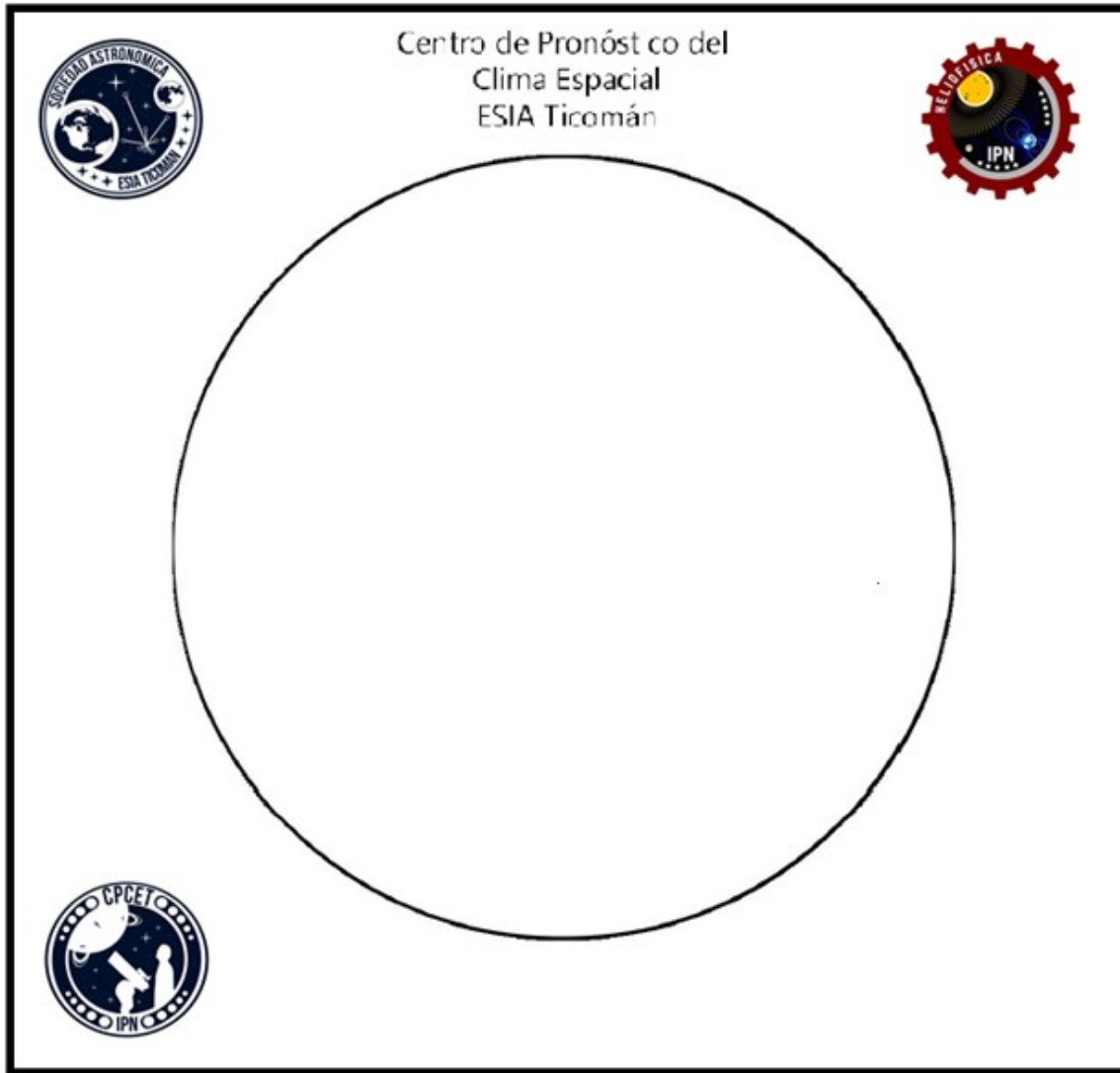
Los hoyos coronales (regiones oscuras) son regiones de campo magnético solar localmente abierto. Los hoyos coronales son fuente de las corrientes de viento solar rápido.

El Sol:

Se observan múltiples hoyos coronales dispersos en el disco solar.

En particular hay dos cercanos al ecuador y uno ecuatorial que atraviesa el disco solar de este a oeste. El viento solar proveniente de éste podría afectar a la Tierra la próxima semana.

<http://solarmonitor.org>



El número de Wolf es un valor que permite evaluar numéricamente la actividad solar mediante el conteo de manchas solares ubicadas sobre la superficie del Sol. Este se calcula a partir de la fórmula desarrollada por Rudolf Wolf en 1849:

$$W=k(10 * G+F)$$

Donde:

K= Es un factor de corrección que depende de cada observatorio.

F= Cantidad total de manchas solares visibles sobre el disco solar.

G= Cantidad de grupos manchas solares visibles sobre el disco solar.

Número de Wolf máximo esta semana: **11**

Actividad solar: **BAJA**

# Actividad solar: Fulguraciones solares

GOES X-Ray Flux (1-minute data)



Updated 2020-09-18 15:53 UTC

Space Weather Prediction Center

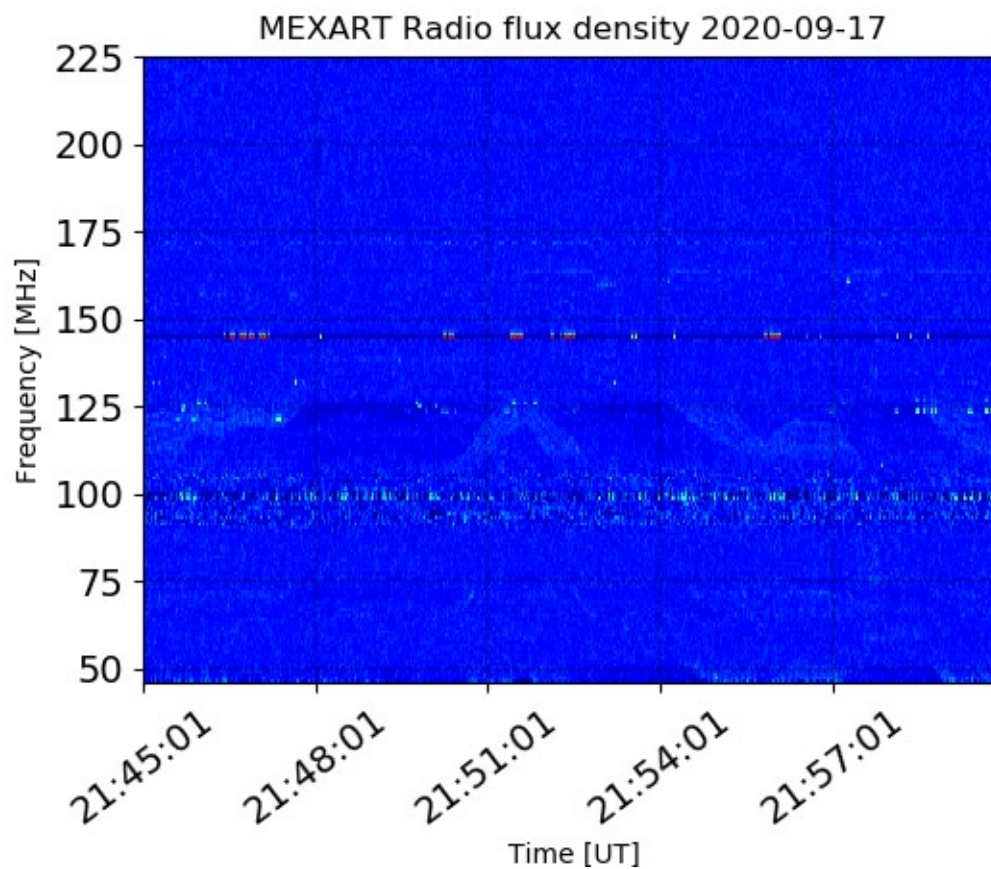
Flujo de rayos X solares detectado por los satélites GOES.

No se detectaron fulguraciones solares en la semana.

Imágenes: <http://services.swpc.noaa.gov/>

# Actividad solar: estallidos de radio

Callisto-MEXART no detectó estallidos de radio solares esta semana.



- <http://www.rice.unam.mx/callisto/lightcurve/2020/09>

# Actividad solar: Eyecciones de Masa Coronal

>> Septiembre 13, 12:48 h<sup>+</sup>

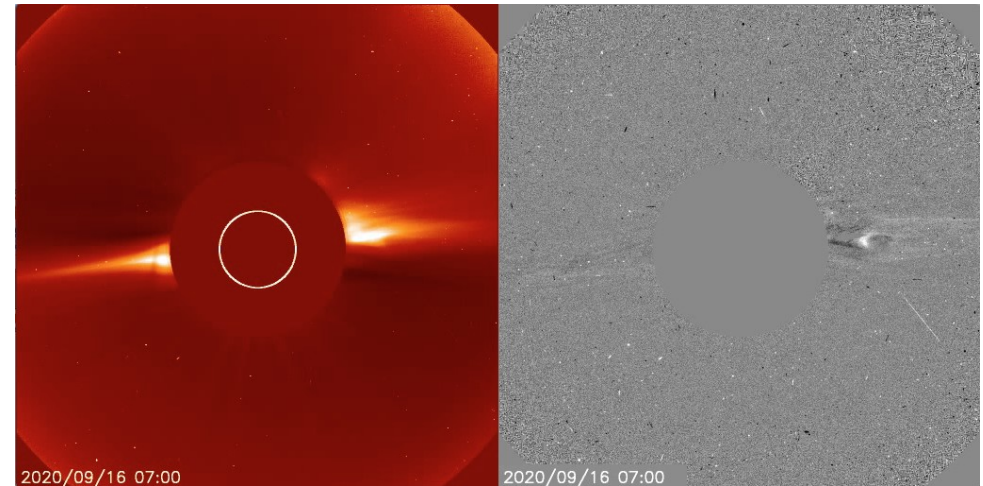
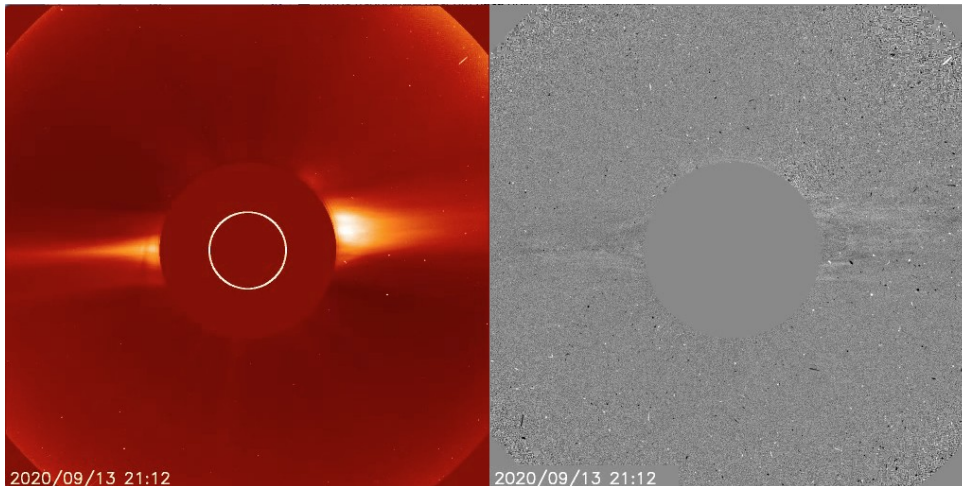
>> Septiembre 16, 3:12 h<sup>+</sup>

- Eyecciones lentas y colimadas observadas por SOHO/LASCO C3.
- La dirección de propagación no se encuentran en la dirección Sol-Tierra.
- No se esperan repercusiones severas en el entorno geomagnético.

	13/09	16/09
Velocidad* (km/s)	128	64
Posición angular*	277°	274°
Ancho angular*	22°	15°

(\*)Valores estimados sobre la proyección en el plano del cielo y no en la dirección Sol-Tierra.

(+)Tiempo de inicio de la observación.



Crédito imágenes y valores estimados: ESA-NASA/SOHO, the Solar & Heliospheric Observatory SEEDS – George Mason University, Space Weather Lab

# Medio interplanetario: El viento solar cercano a la Tierra

## Modelo numérico WSA-ENLIL.

El modelo pronostica un ambiente solar terrestre dominado por corrientes de viento solar promedio con velocidades que van desde los 400 km/s hasta 500 km/s. La densidad no presentará incrementos significativos. No se pronostica el arribo de ninguna EMC en los próximos días.

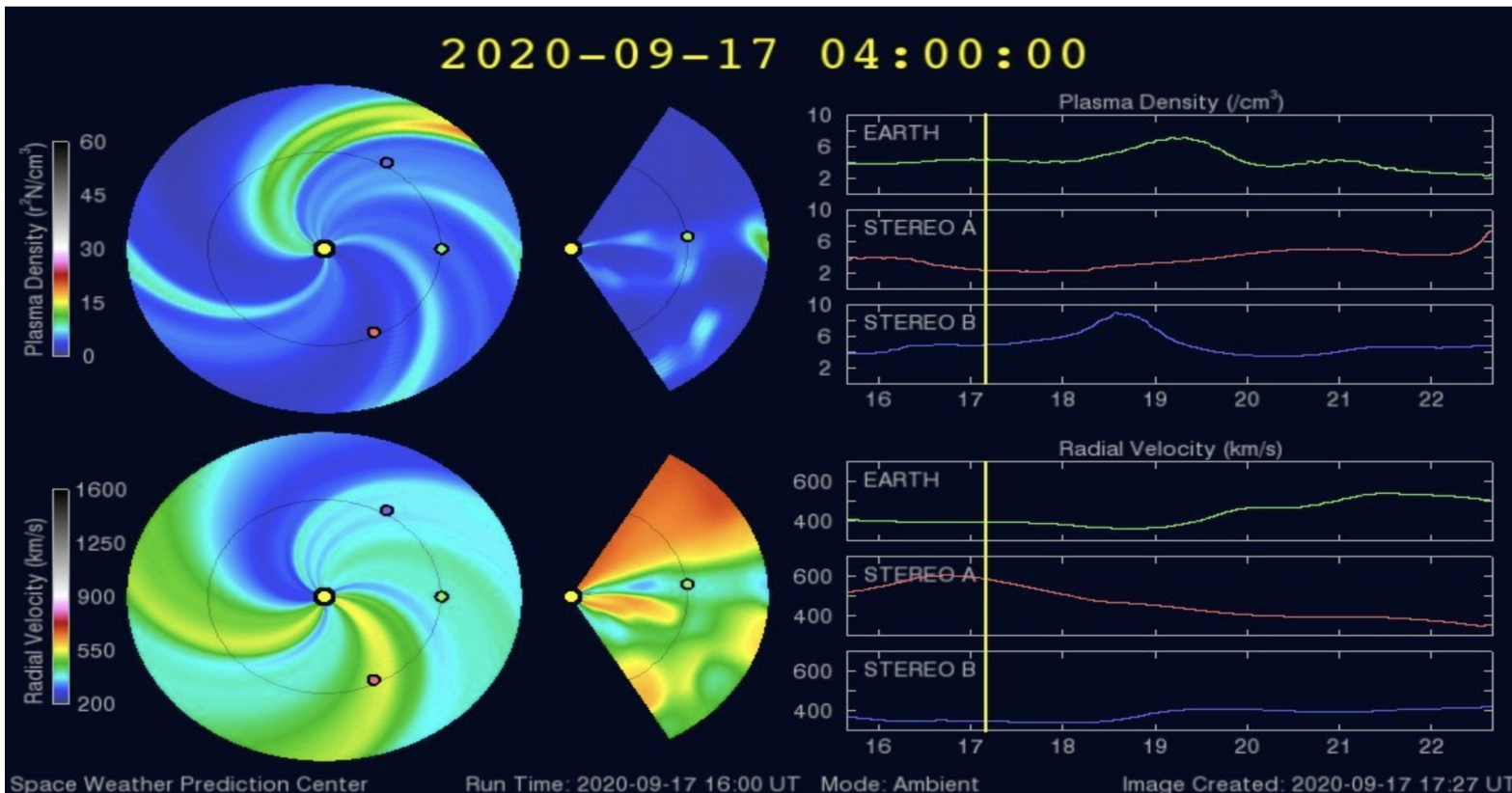
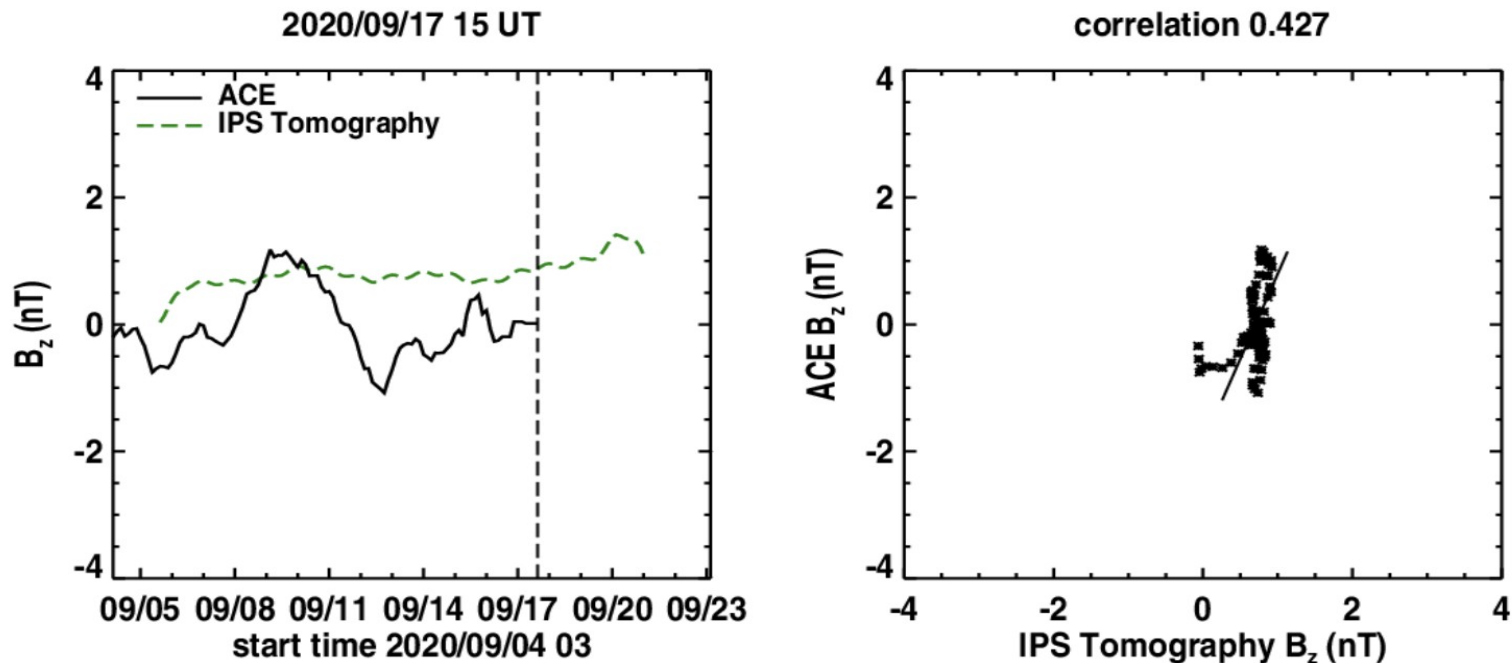


Imagen: <http://www.swpc.noaa.gov/products/wsa-enlil-solar-wind-prediction>

# Medio interplanetario: El viento solar cercano a la Tierra

Pronóstico de la componente  $B_z$  del viento solar cercano a la Tierra usando la tomografía con datos IPS.



**(Izquierda)** Se pronostica una componente  $B_z$  positiva. **(Derecha)** La comparación con las observaciones del Advanced Composition Explorer (ACE) indican una correlación de 0.427 en el último pronóstico.

Imagen: [http://ips.ucsd.edu/high\\_resolution\\_predictions](http://ips.ucsd.edu/high_resolution_predictions)

# Medio interplanetario: Región de interacción de viento solar

CHIMERA Coronal Holes at 11-Sep-2020 18:58:28.840 UT

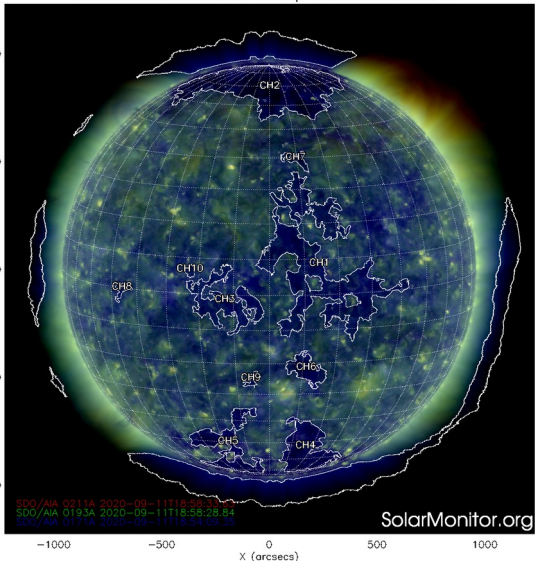


Imagen 1: <https://solarmonitor.org/chimera.php>

Esta semana se registró una región de compresión (área sombreada en imagen 3). El origen del viento solar rápido es un hoyo coronal localizado en latitudes bajas (CH1 en imagen 1). Dicha región de compresión no generó actividad geomagnética. En la imagen 2 (área sombreada en amarillo) vemos la hoja de corriente por arriba del plano de la eclíptica.

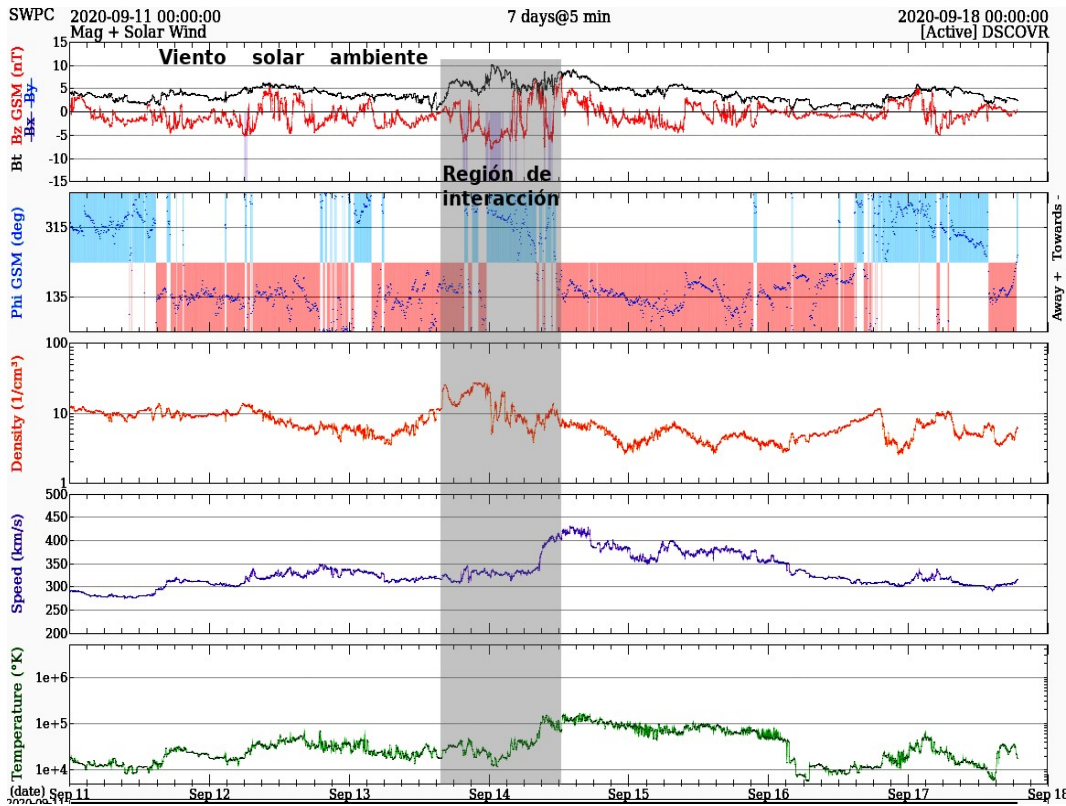


Imagen 3: <http://www.swpc.noaa.gov/products/real-time-solar-wind>

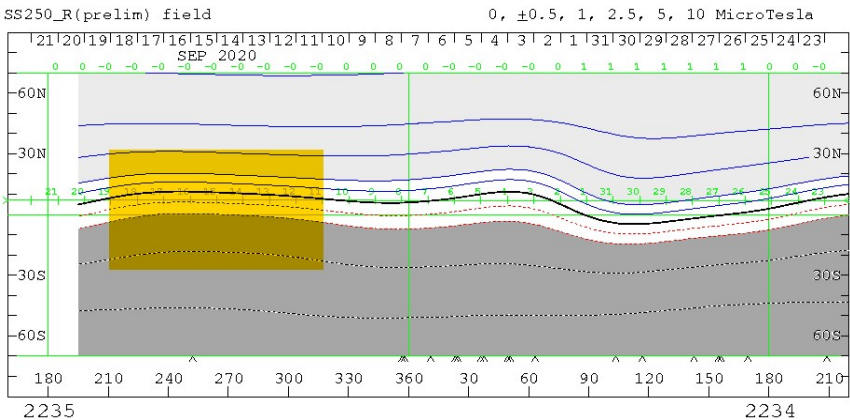


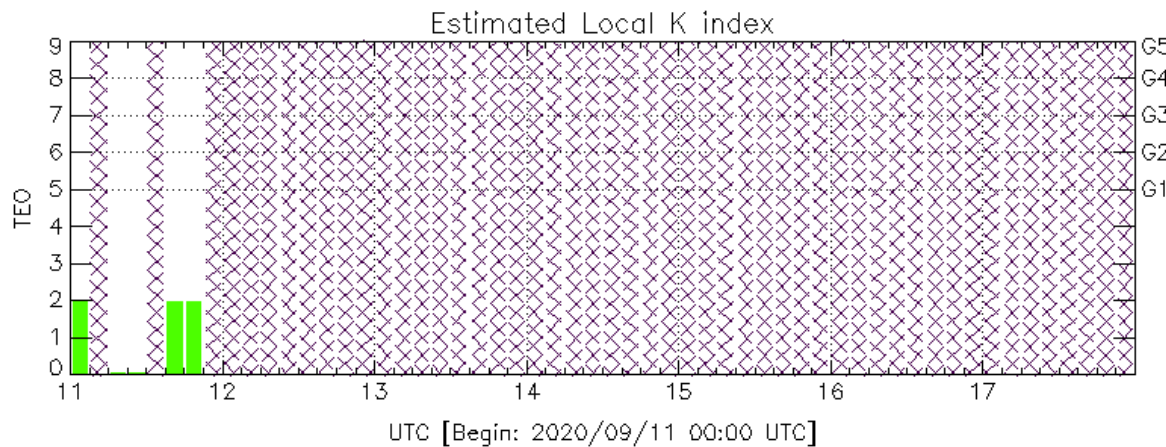
Imagen 2: <http://wso.stanford.edu/SYNOP/>

# Perturbaciones geomagnéticas: Índices geomagnéticos Kp y Kmex

Imagen: <http://services.swpc.noaa.gov/images/planetary-k-index.gif>

Fue una semana quieta. No se observaron disturbios geomagnéticos en el índice Kp.

NOTA: Debido a actividades de mantenimiento, no se cuenta con datos del Observatorio de Teoloyucan. Esta condición impide el cálculo del índice Kmex.

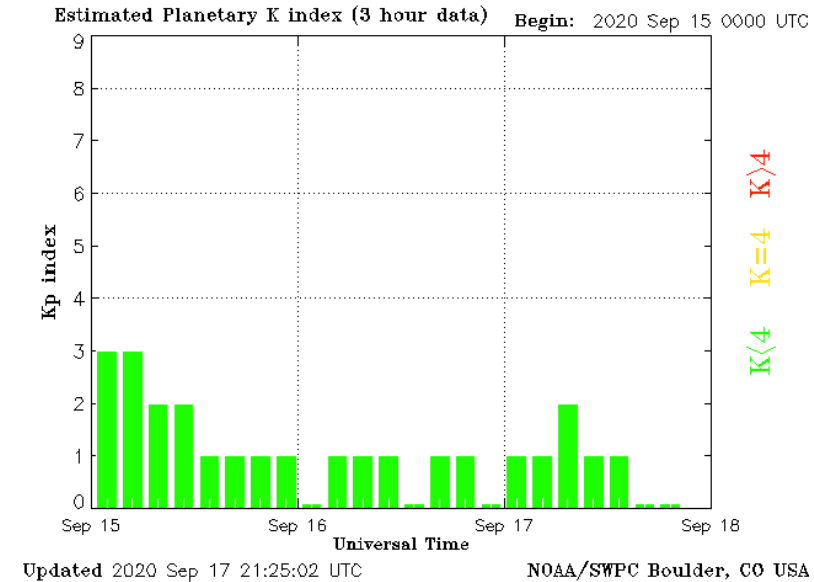


Color Code: ■ quiet, ■ disturbed, ■ storm, XXXX data not available.

TEO: Teoloyucan Geomagnetic Observatory (LAT 19.746, LON -99.193)

LANC/SCIESMEX - Morelia, Mich., MX

Updated: 2020/09/17-21:00 UTC



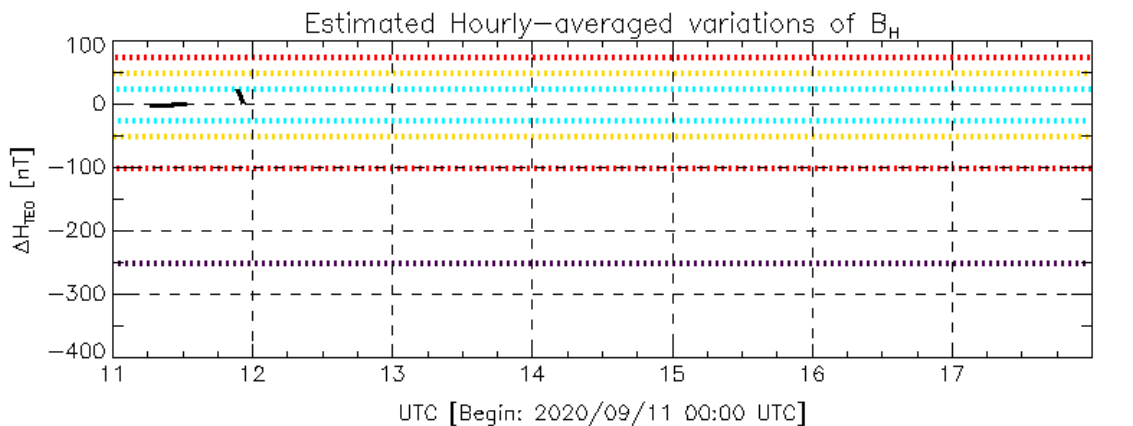
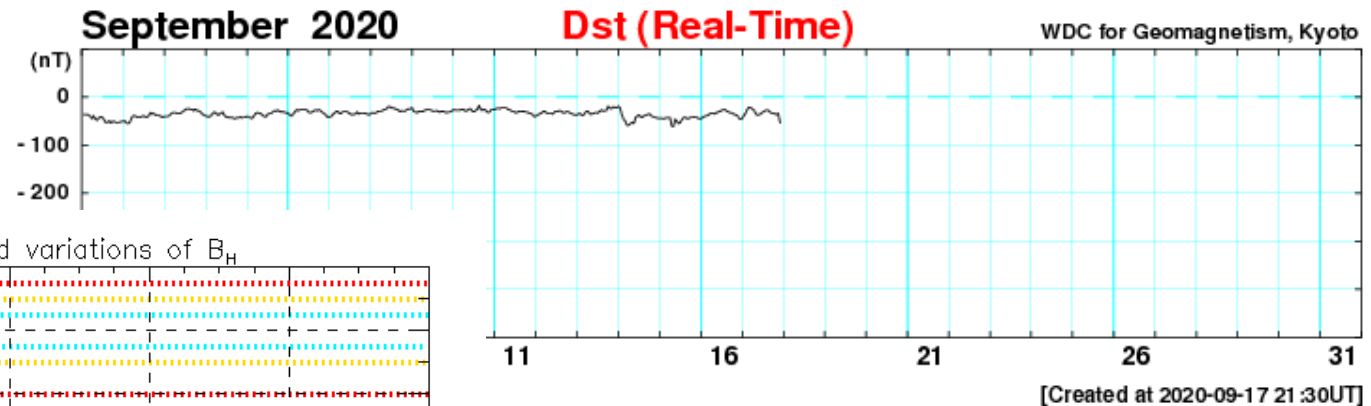
El índice K indica la intensidad de las variaciones del campo magnético terrestre en intervalos de 3 horas. El índice Kp lo expresa a escala planetaria, mientras que el Kmex lo hace para el territorio mexicano.

# Perturbaciones geomagnéticas: Índice Dst y $\Delta H$

Fue una semana quieta. No se registró actividad geomagnética en el índice Dst.

NOTA: Debido a actividades de mantenimiento, no se cuenta con datos del Observatorio de Teoloyucan. Esta condición impide el cálculo del índice  $\Delta H$ .

Imagen: [http://wdc.kugi.kvoto-u.ac.jp/dst\\_realtime/presentmonth/index.html](http://wdc.kugi.kvoto-u.ac.jp/dst_realtime/presentmonth/index.html)



Color Code: ..... weak, ..... moderate, ..... intense, ..... extreme, --- data not available.

TED: Teoloyucan Geomagnetic Observatory (LAT 19.746, LON -99.193)

LANC/SCIESMEX - Morelia, Mich., MX

Updated: 2020/09/17-21:00 UTC

Los índices Dst y  $\Delta H$  miden las variaciones temporales de la componente horizontal del campo geomagnético, el primero a escala planetaria y el segundo para México. Estas variaciones, en general, se deben al ingreso de partículas anómalas al ambiente espacial terrestre.

# Ionósfera sobre México

## TEC en el centro del país

El contenido total de electrones (TEC) es un parámetro que sirve para caracterizar el estado de la ionosfera de la Tierra.

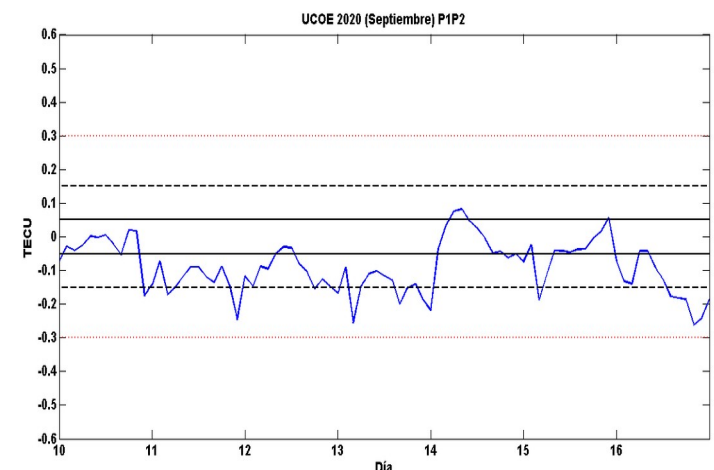
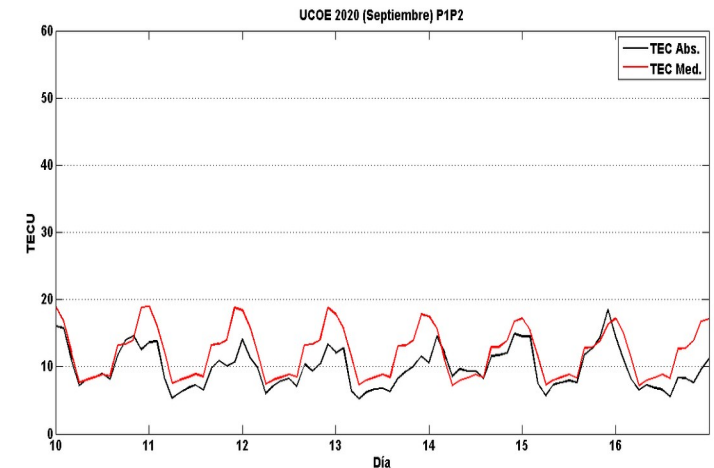
Serie temporal de los valores de TEC (negro) con referencia a su valor mediano (rojo) durante 10.09-16.09.2020 con base en los datos de la estación local UCOE (TLALOCNet, UNAVCO) en las instalaciones del MEXART.

Desviación de TEC de su mediana de los 27 días anteriores al día de observación con base en los datos de la misma estación.

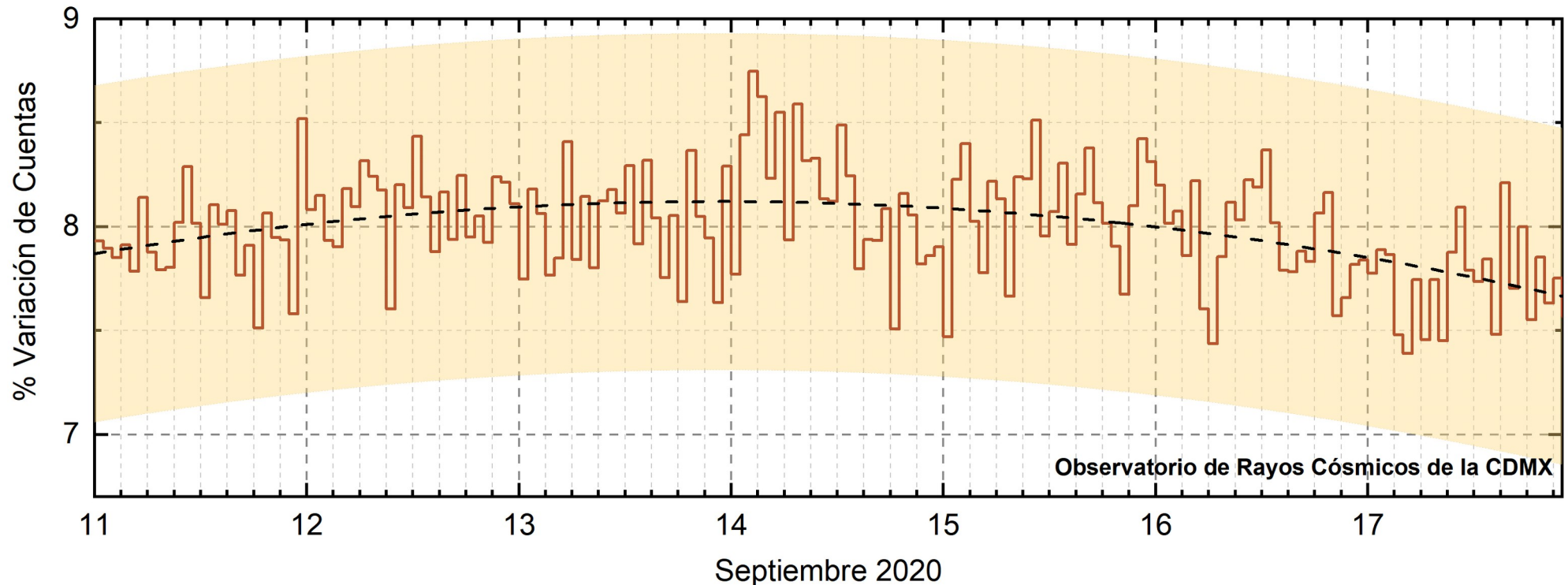
Según los datos locales, esta semana se observaron valores bajos de TEC.

El cálculo se realiza en base de TayAbsTEC software del Instituto de Física Solar-Terrestre, Sección Siberiana de la Academia de Ciencias de Rusia. Referencia: Yasyukevich et al., Influence of GPS/GLONASS Differential Code Biases on the Determination Accuracy of the Absolute Total Electron Content in the Ionosphere, Geomagn. and Aeron., ISSN 0016\_7932, 2015.

Referencia: Gulyaeva et al., GIM-TEC adaptive ionospheric weather assessment and forecast system. doi:10.1016/j.jastp.2013.06.011, 2013.



# Rayos Cósmicos:



<http://www.cosmicrays.unam.mx/>

Datos registrados por el Observatorio de Rayos Cósmicos de la Ciudad de México. La curva discontinua negra representa el promedio de los datos registrados, el área coloreada en amarillo representa la significación de los datos ( $\pm 3\sigma$ ). Cuando se registran variaciones que salen del área, es probable que éstas sean atribuidas a efectos de emisiones solares en el flujo de rayos cósmicos.

Del 11 al 17 de septiembre de 2020, no se detectaron incrementos significativos ( $>3\sigma$ ) en las cuentas de rayos cósmicos.

## UNAM/LANCE/SCiESMEX

Dr. J. Américo González Esparza  
Dr. Pedro Corona Romero  
Dra. Maria Sergeeva  
Dr. Julio C. Mejía Ambriz  
Dr. Luis Xavier González Méndez  
Dr. José Juan González Avilés  
Ing. Ernesto Andrade Mascote  
M.C. Pablo Villanueva Hernández  
Ing. Adan Espinosa Jiménez  
Ing. Juan Luis Godoy Hernández  
Dr. Ernesto Aguilar-Rodríguez  
Dra. Verónica Ontiveros  
Dra. Tania Oyuki Chang Martínez  
Ing. Juan José D'Aquino  
Dr. Víctor José Gatica Acevedo

## UNAM ENES-Morelia

Dr. Mario Rodríguez Martínez  
Dr. Víctor De la Luz Rodríguez  
Lic. Shaden Saray Hernández Anaya  
M.C. Raúl Gutiérrez Zalapa  
Rafael Zavala Molina  
Vanessa Arriaga Contreras

## UNAM/PCT

Lic. Elizandro Huipe Domratheva  
M.C. Víctor Hugo Méndez Bedolla  
M.C. Elsa Sánchez García

## UANL/LANCE

Dr. Eduardo Pérez Tijerina  
Dr. Enrique Pérez León  
Dr. Carlos de Meneses Junior  
Dra. Esmeralda Romero Hernández

## UNAM/IGF/RAYOS CÓSMICOS

Dr. José Francisco Valdés Galicia  
Fis. Alejandro Hurtado Pizano  
Ing. Octavio Musalem Clemente

## SERVICIO MAGNÉTICO

M.C. Esteban Hernández  
Quintero  
M.C. Gerardo Cifuentes Nava  
Dra. Ana Caccavari Garza

**Elaboración:** Equipo SCiESMEX

**Revisión:** Ernesto Aguilar Rodríguez

Ing. Julio César Villagrán Orihuela

Miguel Daniel González Arias

Carlos Escamilla León

Jessica Juárez Velarde

Pablo Romero Minchaca

Eric Bañuelos Gordillo

Alfonso Iván Verduzco Torres

Alain Mirón Velázquez

Christian Armando Ayala López

Katia Lisset Ibarra Sánchez

Angel Alfonso Valdovinos Córdoba

## Agradecimientos

El Laboratorio Nacional de Clima Espacial (LANCE) es parcialmente financiado por: el programa Cátedras CONACYT Proyecto 1045 y el Fondo Sectorial AEM-CONACYT proyecto 2014-01-247722. Agradecemos al proyecto Conacyt – Repositorio Institucional de Clima Espacial 268273. Agradecemos al proyecto AEM-2018-01-A3-S-63804 del Fondo Sectorial CONACYT-AEM. Agradecemos a todos los responsables y colaboradores de instrumentos del LANCE y a las redes de estaciones GPS del Servicio Sismológico Nacional y TlalocNET por facilitar sus datos. Agradecemos a Gerardo Cifuentes, Esteban Hernández y Ana Caccavari por los datos del Observatorio Magnético de Teoloyucan. De igual forma, agradecemos los servicios de IGS (International GNSS Service) por permitirnos usar los datos IONEX disponibles en: <ftp://cddis.gsfc.nasa.gov/pub/gps/products/ionex>. Los valores de TEC fueron obtenidos a partir de observaciones de las redes GPS del Servicio Sismológico Nacional (SSN), SSN-TLALOCNet y TLALOCNet del Servicio de Geodesia Satelital (SGS). Agradecemos al personal del SSN y del SGS por el mantenimiento de estaciones, la adquisición de datos y el soporte de IT de estas redes. Las operaciones de la red TLALOCNet y SSN-TLALOCNet GPS han sido apoyadas por The National Science Foundation bajo el proyecto EAR-1338091 a UNAVCO Inc., los proyectos CONACyT 253760 y 256012 y los proyectos UNAM-PAPIIT IN109315-3 y IN104818-3 de E. Cabral-Cano y el proyecto UNAM-PAPIIT IN111509 de R. Pérez. De igual forma, agradecemos a los proyectos de infraestructura del CONACyT: 253691 y del PAPIIT-DGAPA: IA107116 para el fortalecimiento de equipos como la estación fija de GPS, que forman parte del LACIGE-UNAM, de la ENES unidad Morelia a cargo de M. Rodríguez-Martínez, El cálculo de TEC se realiza: 1) utilizando el software US-TEC que es un producto de operación del Space Weather Prediction Center (SWPC), desarrollado a través de una colaboración entre National Geodetic Survey, National Oceanic and Atmospheric Administration (NOAA) y el Cooperative Institute for Research in Environmental Sciences of the University of Boulder, Colorado, 2) con base en el software TayAbsTEC del Instituto de Física Solar-Terrestre, sección Siberiana de la Academia de Ciencias Rusa. Parte del procesamiento de datos se lleva a cabo dentro del centro de Supercómputo de Clima Espacial (CESCOM) del LANCE. Así mismo agradecemos al Space Weather Forecasting Center for Astrophysics & Space Research de la University of California in San Diego y al Korean Space Weather Center por los datos de pronóstico para los modelos WSA-ENLIL y los mapas tomográficos por IPS. Agradecemos a la red e-callisto por los datos proporcionados de espectros electromagnéticos dinámicos de la red internacional de registro de eventos de radio solares.